

## مطالعات مولکولی، بیوانفورماتیکی و تعیین ویژگی‌های عملکردی آنزیم کتکول ۲ و ۳

### دی‌اکسیژنаз از سویه *Aneurinibacillus migulanus Znu12*



ثريا محمدزاده، نسرین احمدپور، زبیا میرزایی و وهب جعفریان\*

ایران، زنجان، دانشگاه زنجان، دانشکده علوم، گروه زیست‌شناسی

تاریخ دریافت: ۱۳۹۹/۰۷/۱۸ تاریخ پذیرش: ۱۳۹۹/۰۷/۱۶

#### چکیده

کتکول ۲ و ۳ دی‌اکسیژنازها از آنزیم‌های کلیدی در متابولیسم ترکیبات آروماتیک موجود در باکتری‌های خاک می‌باشند که در زیست پالایی نقش بسزایی دارند. هدف از پژوهش حاضر، معرفی آنزیم کتکول ۲ و ۳ دی‌اکسیژناز جدید و همچنین بررسی بیوانفورماتیکی و بیوشیمیایی آن در حضور سوبیستراهای گوناگون و بررسی فعالیت در گستره‌ی گوناگون pH در جهت استفاده وسیع از این دسته آنزیم‌ها در صنعت زیست‌پالایی می‌باشد. برای این منظور، توالی رمزکننده آنزیم کتکول ۲ و ۳ دی‌اکسیژناز با روش PCR از سویه *Aneurinibacillus migulanus Znu12* استخراج، با شماره دسترسی MN197546.1 در NCBI ثبت و درون وکتور pET28a همسانه سازی گردید. بررسی صحت همسانه سازی و عدم تغییر قالب خوانش با استفاده از تعیین توالی تایید شد. پس از تاریخت نمودن سلول‌های *E. coli* BL21(DE3) بیان پروتئین با روش SDS-PAGE ارزیابی شد. سپس خالص‌سازی، سنجش و بهینه‌سازی فعالیت آنزیم مورد ارزیابی قرار گرفت. نتایج واکنش PCR بر روی ژل آگاروز بیانگر قطعه‌ی ژنومی ۹۱۵ جفت‌بازی معادل ۳۰۴ باقی‌مانده آمینواسیدی می‌باشد. الکتروفورز با SDS-PAGE نیز تاییدکننده آنزیم تخلیص‌شده‌ی ۳۴ کیلو Daltonی از ستون کرماتوگرافی تمایلی نیکل آگاروز بود. بررسی عملکرد بیوشیمیایی آنزیم نیز نشان داد آنزیم در pH=۷/۲ دارای ۱۰۰ درصد فعالیت ولی در pH=۷/۴ فقط ۷۰ درصد فعالیت داشت. بررسی ترجیح سوبیستراپی نشان داد که کتکول سوبیستراپ مطلوب‌تری نسبت به پیروگالول و فنول برای آنزیم بود. بررسی نتایج بیوانفورماتیکی تأییدکننده این ترجیح به علت نوع و موقعیت باقی‌مانده‌های آمینواسیدی جایگاه فعل آنزیم می‌باشد.

**واژه‌های کلیدی:** بیوانفورماتیک، زیست پالایی، pH بهینه، کتکول ۲ و ۳ دی‌اکسیژناز، همسانه‌سازی.

\* نویسنده مسئول، تلفن: ۰۲۴۳۳۰۵۲۵۳۱، پست الکترونیکی: v.jafarian@znu.ac.ir

#### مقدمه

تولوئن، بنزن، آنیلین، فنلات و مشتقات آن به صورت ترکیبات حد بواسطه شکل می‌گیرد و همچنین سمیت کتکول از فنول بیشتر است و به راحتی در آب، خاک و محیط زیست نفوذ می‌کند. بنابراین تهدیدی برای محیط زیست و سلامت انسان محسوب شده و حذف آلاندگی آن از اهمیت بسیار بالایی برخوردار است (۱۴). کتکول دارای اثرات جهش‌زاوی، سرطان‌زاوی و اثرات سمی می‌باشد که به راحتی از طریق پوست جذب گردیده و باعث درماتیت

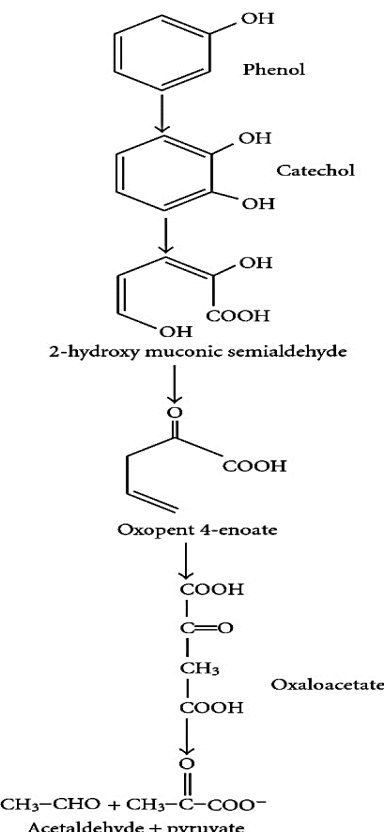
ریزآلایندها شامل انواع مختلفی از مواد مانند فلزات سنگین و مواد آلی (رنگ‌های نساجی، هورمون‌ها، داروهای متابولیک و آفت‌کش‌ها) می‌باشند که توسط فعالیت‌های انسانی در محیط پخش می‌شوند و سال‌هاست به یک تهدید جهانی تبدیل شده است و سبب ایجاد عوارضی نظری سمیت حاد، از دست دادن باروری، تولد های ناقص، تغییر جنسیت و اختلال در غدد درون‌ریز می‌باشد (۴). کتکول از تجزیه بسیاری از ترکیبات آروماتیک نظیر فنول،

کتکول ۲ و ۳ دی‌اکسیژنаз حلقه آروماتیک کتکول را در موقعیت متا (۲,۳) می‌شکند، در نهایت کتکول را به -۲-هیدروکسی مونوکنیک سمی‌آلدهید تبدیل می‌کند (۲). کتکول دی‌اکسیژنازها از آنزیم‌های کلیدی در متابولیسم ترکیبات آروماتیک موجود در باکتری‌های خاک می‌باشند که در زیست‌پالایی نقش بسزایی دارند. کتکول ۲ و ۳ دی‌اکسیژناز به دو گروه آنزیم‌های شکننده ایترادیول و اکسترادیول تقسیم می‌شوند. هر دو نوع آنزیم در جایگاه فعال خود دارای آهن می‌باشند که برای فعالیت آنزیم ضروری هستند. ایترادیول‌ها دارای آهن سه ظرفیتی و اکسترادیول‌ها دارای آهن دو ظرفیتی می‌باشند (۷).

اکسترادیول دی‌اکسیژنازها آنزیم‌های متنوعی هستند که با طیف گسترده‌ای از سوبستراها واکنش می‌دهند و به دو گروه تقسیم می‌شوند: ۱- گروهی که با سوبستراهای تک حلقوی واکنش می‌دهند. ۲- گروهی که با سوبستراهای چند حلقوی واکنش می‌دهند. کتکول ۲ و ۳ دی‌اکسیژناز ترکیبات تک حلقوی را تجزیه می‌کند که دارای دو دمین و اولیگومر می‌باشد و در جایگاه فعال خود دارای آهن دو ظرفیتی یا منگنز دو ظرفیتی می‌باشند. اکسترادیول دی‌اکسیژناز شکستن حلقه ترکیبات آروماتیک را از کربن دارای گروه هیدروکسیل و بدون هیدروکسیل کاتالیز می‌کند. مکانیسم عمل آنزیم با اتصال دو جانب سوبسترا به عنوان مونوآئیون به آهن دو ظرفیتی در جایگاه فعال و جایگزینی دو مولکول آب به طور همزمان آغاز می‌شود که با اتصال اکسیژن به آهن دو ظرفیتی یک حدواسط سمی کیتون- فروس- سوپراکسید شکل می‌گیرد. سپس در مراحل بعدی گروه کربونیل اکسید با دو بار مرکزی و باند اکسیژن- اکسیژن شکافته می‌شود و حدواسط لاکتون شکل می‌گیرد. باند آهن دو ظرفیتی و یون هیدروکسید تشکیل می‌شود در نهایت هیدرولیز لاکتون باعث تشکیل سمی‌آلدهید می‌شود (شکل ۲). به دلیل اهمیت کتکول ۲ و ۳ دی‌اکسیژناز در تخریب ترکیبات آروماتیک در دهه‌های گذشته مورد توجه قرار گرفته است و مطالعات زیادی در

می‌شود و همچنین اثرات مسمومیت با کتکول شبیه مسمومیت با فنول می‌باشد (۱۹). کتکول به دلیل سمی بودن می‌تواند باعث سرطان لنفاوی، آسیب به سیستم اعصاب مرکزی و عدم رونویسی DNA شود. بنابراین به عنوان یکی از عوامل سرطان در انسان شناخته شده است (۱۶).

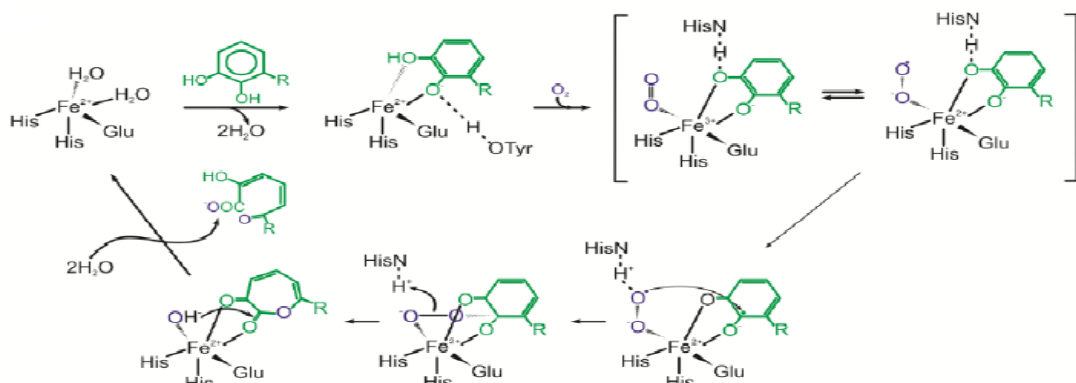
کتکول به دست‌آمده از تجزیه ترکیبات آروماتیک دچار سرنوشت‌های متفاوتی خواهد شد. مسیر ارتو (Ortho pathway) توسط آنزیم کتکول ۱ و ۲ دی‌اکسیژناز و مسیر متا (Meta pathway) توسط آنزیم کتکول ۲ و ۳ دی‌اکسیژناز را طی کرده و به چرخه تری کربوکسیک اسید ختم می‌شود. شکل ۱ مسیر تجزیه فنول و تبدیل آن به کتکول و سرنوشت کتکول را نشان می‌دهد (۱۸).



شکل ۱- مسیر تجزیه کتکول و ختم آن به چرخه تری کربوکسیلیک- اسید (۱۷).

ترکیبات آروماتیک صورت گرفته است (۱۱ و ۱۲).

مورد ساختار مولکولی، ویژگی‌های سوبسیترایی، عملکرد و انتقال آنها به میکروارگانیسم‌های مختلف برای تجزیه



شکل ۲- مکانیسم عمل اکسترادیول دی اکسیژناز (۷).

*Alcaligenes*, *Bacillus*, *Planococcus*, *Variovorax*, *Stenotrophomonas*, *Pseudomonas*, *Sphingomonas* مورد مطالعه قرار گرفته است (۱۰). مطالعات مختلف جهت بررسی مکانیسم واکنش آنزیمی بوسطه Shu و همکاران در سال ۱۹۹۵ و سال ۲۰۰۱ شکل گرفت و ساختار اولیه کتکول ۲,۳ دی اکسیژناز برای اولین بار سال ۱۹۸۳ توسط Nakai و همکاران در *Pseudomonas putida* mt<sub>2</sub> شناسایی شد و توسط Kita و همکارانش در سال ۱۹۹۹ توضیح داده شد (۱۲).

آلودگی‌های روزافزون زیست محیطی و تهدید سلامت جهانی منجر به روی‌آوری به روش‌های سازگار با محیط از جمله استفاده از باکتری‌های موجود در خاک با توانایی تجزیه ترکیبات آروماتیک، جهت کاهش یا حذف این آلاینده‌ها شده است. کتکول ۲ و ۳ دی اکسیژنازها، آنزیم‌های شکننده ترکیبات آروماتیک و تبدیل آنها به مواد بی‌خطر یا کم خطر است و مطالعه حاضر در راستای شناسایی، همسانه سازی و تخلیص آنزیم کتکول ۲ و ۳ دی اکسیژناز از باکتری *Aneurinibacillus migulanus Znu12* جدا شده از شیل های نفتی کرمانشاه انجام گردید. تا با مطالعات بیوانفورماتیکی و بیوشیمیابی این آنزیم در حضور

آنزیم کتکول ۲ و ۳ دی اکسیژناز (متوپرولکتکاز) به اکسیژن و فرم‌های کاهشی آن حساس می‌باشد و به راحتی توسط اکسیدهای مختلف غیرفعال می‌شود که از این اکسیدکننده‌ها می‌توان هوا یا H<sub>2</sub>O<sub>2</sub> را نام برد. این اکسیداسیون در اثر تبدیل آهن دوظرفیتی به آهن سه‌ظرفیتی و آزادشدن آن از پروتئین می‌باشد که در اثر این اکسیداسیون آنزیم غیرفعال می‌شود و در نهایت می‌توان با انکوباسیون با آهن سه‌ظرفیتی و یک کاهش‌دهنده در شرایط بی‌هوایی دوباره فعال کرد که از غیرفعال شدن آنزیم در حضور کتکول جلوگیری می‌کند، ناگفته نماند که کوفاکتور آهن توسط هالوکتکول نیز غیرفعال می‌شود (۲۰ و ۲۲). در اکثر ساختارهای اکسترادیول دی اکسیژنازها، در جایگاه فعال یون آهن دو ظرفیتی با دو باقی‌مانده هیستیدین، یک گلوتامات و یک تیروزین به صورت حفظ شده وجود دارد. نتایج مطالعات قبلی نشان می‌دهد که اکثر اکسترادیول دی اکسیژنازها از مکانیسم واحد و شناخته شده‌ای برای اتصال به سوبسیترا و شکستن ترکیبات آروماتیک استفاده می‌کنند که این ساختار حفظ شده در آنزیم‌های زیادی مشاهده شده است (۹).

با توجه به کاربرد این آنزیم در حفاظت از محیط زیست، کتکول ۲,۳ دی اکسیژناز از میکروارگانیسم‌های مختلفی از

PCR Reverse انجام شد. واکنش PCR مورد نظر به این صورت بود: مرحله اول: ۹۴°C (۳ دقیقه)، مرحله دوم: ۹۴°C (۱ دقیقه)، ۵۲°C (۱ دقیقه)، ۷۲°C (۱/۵ دقیقه) در ۳۵°C چرخه، مرحله آخر: ۷۲°C (۳ دقیقه) انجام شد و محصول PCR روی ژل آگاروز ۱ درصد بارگذاری شد.

**همسانه‌سازی ژن کنکول ۲ و ۳ دی‌اکسیژناز در میزبان پروکاریوتنی:** بعد از خالص‌سازی محصول PCR توسط کیت تخلیص محصول PCR، برش توسط آنزیم‌های برشی BamHI و XhoI به مدت ۱۵ دقیقه در ۳۷°C انجام شد. به منظور همسانه‌سازی و بیان ژن کنکول ۲ و ۳ دی‌اکسیژناز از وکتور بیانی pET28a و جهت جای‌گذاری توالی آنزیم از باکتری E.coli DH5α به عنوان میزبان برای انتقال حامل نوترکیب استفاده گردید. پس از برش پلاسمید مورد نظر توسط آنزیم‌های برشی XhoI BamHI در دو مرحله به مدت ۱۵ دقیقه در دمای ۳۷°C، آلکالین فسفاتاز به پلاسمید برش یافته اضافه گردید. این واکنش به مدت ۱۵ دقیقه در دمای ۳۷°C انجام شد. به منظور غیرفعال کردن آنزیم محصول واکنش به مدت ۵ دقیقه در دمای ۷۵°C قرار گرفت. سپس واکنش اتصال با حضور آنزیم T4 DNA Ligase به منظور قرارگیری ژن موردنظر در جایگاه همسانه‌سازی حامل بیانی pET28a به مدت ۲۴-۲۰ ساعت در ۳۷°C صورت گرفت و درنهایت حامل به باکتری همسانه‌سازی حامل بیانی E.coli DH5α استعد انتقال یافت.

پس از انجام عمل ترانسفورم، همسانه‌سازی محصول PCR تخلیص شده طی مراحلی در میزبان پروکاریوتنی E.coli DH5α انجام گردید. برای تایید عمل ترانسفرم و همسانه‌سازی از روش‌های غربال‌گری با استفاده از کلونی PCR غربال‌گری با استفاده از هضم آنزیمی و تعیین توالی استفاده شد.

**بیان و تخلیص آنزیم کنکول ۲ و ۳ دی‌اکسیژناز :** استخراج پلاسمید نوترکیب حاوی توالی آنزیم مورد مطالعه از باکتری E.coli سویه DH5α توسط کیت استخراج پلاسمید

سویستراهاي گوناگون و بررسی فعالیت در گستره pH گامی به سوی استفاده گسترده از این دسته آنزیم‌ها در صنعت زیست‌پایابی برداشته شود.

## مواد و روشها

**مواد شیمیایی و آنزیم‌ها:** محیط کشت Nutriant Broth و Nutriant Agar، کوماسی بلو، آگارز، تریپتون، کانامایسین، پتاسیم دی هیدروژن فسفات، دی پتاسیم فسفات، اسید‌اسکوربیک، کنکول، فروس‌سولفات‌هیدراته، نمک‌تریس و سایر مواد شیمیایی که از شرکت مرک (Darmstadt,Germany) تهیه گردید. آنزیم‌ها Thermal scientific T4 DNA Ligase و XhoI از شرکت Bioneer و کیت تخلیص محصول PCR از استخراج پلاسمید از Bioneer کره جنوبی تهیه گردید و خدمات سنتز پرایمر و تعیین توالی توسط شرکت تکاپو زیست نماینده Bioneer کره جنوبی انجام گردید.

تکثیر توالی کد کننده آنزیم کنکول ۲ و ۳ دی‌اکسیژناز: در این مطالعه از باکتری Aneurinibacillus migulanus که پیش‌تر از خاک شیل‌های نفتی مربوط به ارتفاعات منطقه دودان (N ۳/۲" ۳۵°۰'۸/۶" E ۴۶°۱۱'۸" ) واقع در غرب استان کرمانشاه جداسازی شده بود استفاده شده است (۱). پس از بررسی‌های مولکولی (شناسایی توالی 16S rDNA Aneurinibacillus migulanus Znu12 باکتری با عنوان Znu12 باکتری ۱۶SrDNA نامگذاری گردید. توالی NCBI blast در Aneurinibacillus migulanusZnu12 بررسی شد و باکتری‌های دارای بیشترین تشابه با جنس و گونه باکتری مورد نظر مشخص گردید و بعد از بررسی آن‌ها باکتری Aneurinibacillus migulanus strain DSM 2895 که دارای ژن مربوط به توالی آمینواسیدی آنزیم کنکول ۲ و ۳ دی‌اکسیژناز بود انتخاب شد. سپس با استفاده از نرم‌افزار GenRunner طراحی پرایمرهای ۵'-CGAGGATCCATGAACAGCATTGCGTATCG-۳' و ۳'-GTGCTCGAGCTATGTTAATGCTTTGAAAACGAT Forward (5

**اثر pH بر فعالیت آنزیم:** فعالیت نسبی آنزیم در ۳ تکرار در دمای  $^{\circ}\text{C}$  ۲۵ در pH های مختلف تعیین گردید. بدین- منظور از بافر مخلوط (حاوی تریس و فسفات) استفاده شد. از محلول های سود و اسید کلریدریک جهت تنظیم و تهیه pH های مختلف (۶-۸/۵) استفاده گردید.

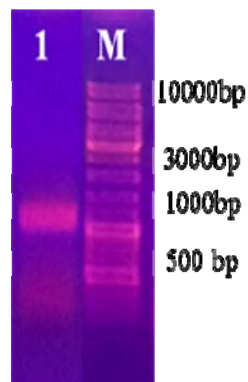
**اختصاصیت سوبستراتی و بهینه کردن غلظت سوبستر:** مطابق بخش ۵-۲ فعالیت آنزیم در دمای اتفاق و  $\text{pH}=7/2$  در غلظت های مختلف کاتکول (۰/۷۵، ۰/۰۵، ۰/۲۵، ۰/۱۲۵، ۰/۰۶۳، ۰/۰۳۲، ۰/۰۳۲ میلی مolar) مورد سنجش قرار گرفت و در ادامه همچنین جهت بررسی اختصاصیت سوبستراتی، فعالیت آنزیم در حضور سوبسترات های مختلف کاتکول، فنول و پیروگالول (۱۰ میلی مolar) در  $\text{pH}=7/2$  و دمای  $^{\circ}\text{C}$  ۲۵ (مطابق بخش ۵-۲) مورد سنجش قرار گرفت.

**مطالعات بیوانفورماتیکی:** ساختار آنزیم کاتکول ۲ و ۳ دی اکسیژناز در باکتری *Aneurinibacillus migulanus* با استفاده از ابزارهای مختلف بیوانفورماتیکی مورد بررسی قرار گرفت. از این رو، توالی های پروتئینی مشابه با توالی این آنزیم در NCBI به دست آمد. سپس مشابه ترین توالی به پروتئین باکتری مورد نظر گزینش و مدل های آن با استفاده از نرم افزار Modeller 9v18 طراحی شد و بهترین مدل با مقایسه پارامترهای به دست آمده از محاسبات توسط نرم افزارهای ModEval، SAVES و SPdbViewer انتخاب و مورد ارزیابی قرار گرفت. افزون و PIC Server بر این، میانکش های مختلف بین پروتئین الگو با مدل انتخابی بررسی و مقایسه شد که نشان دهنده انتخاب درست مدل بود. آمینواسید های حفظ شده و متصل به اتم آهن توسط سرور ESPript3 شناسایی شدند که نشان- دهنده شباهت دیگر توالی های پروتئینی به دست آمده از NCBI با توالی پروتئین مدل و الگو بود. با توجه به تطبیق مدل و الگو از طریق نرم افزارها و سوررهای مدل پروتئین باکتری مورد نظر نیز ساخته شد. افزون بر این، ساختار سه بعدی این پروتئین توسط نرم افزار Chimera رسم گردید.

در محیط کشت LB Broth حاوی کاتامایسین ۵۰ میلی- مolar صورت گرفت سپس به سویه بیانی BL21 انتقال یافت. جهت القا بیان ژن به محیط کشت حاوی باکتری، IPTG (Isopropyl  $\beta$ -d-1-thiogalactopyranoside) (۱ میلی مolar) و سولفات آهن (۱ مolar) اضافه گردید. القا بیان آنزیم به مدت ۱۷ ساعت در دمای  $^{\circ}\text{C}$  ۲۵ دور بر دقیقه در انکوباتور انجام گردید. محیط کشت حاوی باکتری به مدت ۲۰ دقیقه با ۵۰۰ دور بر دقیقه در دمای  $^{\circ}\text{C}$  ۴ سانتریفیوژ شد. به رسوب باکتری ۳ میلی لیتر بافر لیزکننده به صورت سوسپانسیون اضافه گردید. پس از آن سوسپانسیون باکتری تحت سونیکاسانیون (شامل ۲۰ مرحله- ۲۰ ثانیه) قرار گرفت. برای جلوگیری از تخریب گرمایی تمام مراحل سونیکاسانیون در یخ انجام گردید. سلول های لیزشده در دمای  $^{\circ}\text{C}$  ۴ با ۱۲۰۰۰ دور بر دقیقه به مدت ۲۰ دقیقه سانتریفیوژ شدند و محلول رویی برای انجام مراحل بعدی جدا گردید. تخلیص پروتئین با استفاده از ستون کرماتوگرافی نیکل آکاروز انجام شد. سپس از سدیم دو دسیل سولفات پلی آکریل آمید ژل الکتروفورز- SDS (PAGE) با ، درصد ژل بالای الکتروفورز ۵ درصد و ژل پایین ۱۲/۵، برای آنالیز کیفی و تعیین خلوص پروتئین ها با استفاده گردید

**سنجش فعالیت آنزیم:** فعالیت آنزیم کاتکول ۲ و ۳ دی اکسیژناز با واکنشی به حجم دو میلی لیتر که حاوی اسید آسکوربیک ۲ میلی مolar، آهن ۱ میلی مolar برای جلوگیری از غیرفعال شدن آنزیم، آنزیم کاتکول ۲ و ۳ دی- اکسیژناز (۰/۰ میلی گرم)، سوبسترای کاتکول (۱۰ میلی مolar) و بافر تریس (۵۰ میلی مolar) می باشد، فعالیت آنزیم کاتکول ۲ و ۳ دی اکسیژناز در دمای  $^{\circ}\text{C}$  ۲۵ در طول موج ۳۷۵ نانومتر که تبدیل کاتکول به ۲- هیدروکسی موکونیک سمی آلدھید را انجام می دهد، توسط دستگاه اسپکتروفوتومتر مورد سنجش قرار گرفت (۴). غلظت پروتئین با روش برادرور سنجش گردید و از استاندارد سرم آلبومین گاوی (BSA) استفاده شد (۱۴).

شده و صحت همسانه سازی با PCR کلونی‌ها (شکل ۴)،  
هضم آنزیمی (شکل ۵) و تعیین توالی تایید شد.



شکل ۳- محصول PCR (M) مارکر وزن مولکولی ۱۰۰۰۰-۱۰۰ جفت‌باز.

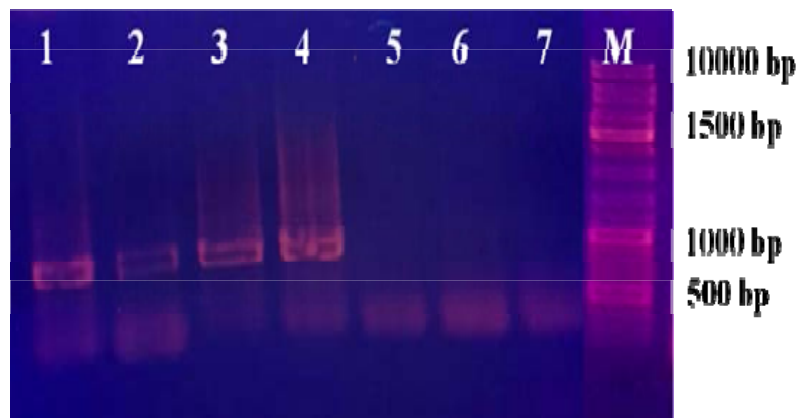
با توجه به نتایج غربال‌گری با استفاده از کلونی PCR، که تمامی کلونی‌های ذکر شده در محیط کشت مایع حاوی کانامسین رشد کردند و همچنین این کلونی‌ها قبل از کشت، مستقیماً به عنوان الگو در PCR مورد استفاده قرار گرفتند و محصول PCR آن‌ها با ژل آگاروز مورد بررسی قرار گرفت (شکل ۴). همان‌طور که در شکل (۴) نشان داده شده است از ۶ کلونی انتخاب شده کلونی‌های ۱ و ۲ و ۳ و ۴ مثبت شد که نشان داد این کلونی‌ها حاوی ژن pET28a در نافل *Xba*I و *Bam*H1 بر روی پرایمر می‌باشد.

و جایگاه فعال آنزیم متصل به اتم آهن با استفاده از این نرم‌افزار نشان داده شد و شباهت و تفاوت بین ساختارهای سوم پروتئین الگو و مدل نیز مورد بررسی قرار گرفت. تطبیق توالی آنزیم کنکول ۲ و ۳ دی‌اکسیژناز در باکتری‌های *Pseudomonas migulanus* (A.m), *Aneurinibacillus Geobacillus putida* (P.p), *Bacillus bacterium* (B.b), *Quasibacillus thermotolorans* (Q.t) و *Parageobacillus thermoglucosidasius* (P.t)، با سرور ESPript3 ترسیم شد.

## نتایج

**تکثیر توالی آنزیم کنکول ۲ و ۳ دی‌اکسیژناز:** نتایج واکنش PCR بر روی ژل آگاروز بیانگر قطعه‌ی ژنومی مربوط به توالی ژنومی آنزیم کنکول ۲ و ۳ دی‌اکسیژناز می‌باشد که در ناحیه ۹۱۵ جفت‌بازی قرار گرفته است و معادل ۳۰۴ باقی-مانده آمینواسیدی در توالی پروتئینی مربوط به آنزیم می-باشد که نشان‌دهنده‌ی صحت انجام واکنش PCR و درستی طراحی پرایمر می‌باشد.

**همسانه‌سازی و تعیین توالی ژن کدکننده کنکول ۲ و ۳ دی‌اکسیژناز:** محصول PCR بر روی پرایمرهای توسط آنزیم *Xba*I و *Bam*H1 در نافل pET28a انجام شده بدون الگو انتخاب شدند.

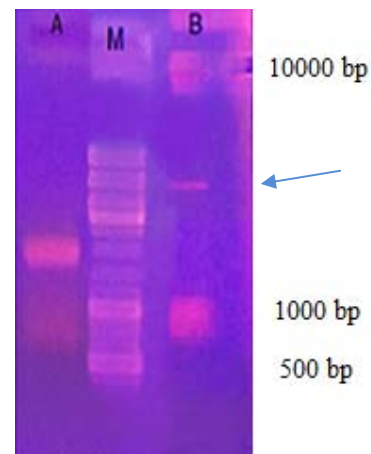


شکل ۴- کلونی PCR ژن کنکول ۲ و ۳ دی‌اکسیژناز در ژل آگاروز ۱ درصد. نمونه‌های ۱ تا ۴ بیانگر نتیجه واکنش PCR انجام شده از کلونی رشد کرده در فرآیند انتقال پلاسمید حاوی ژن کنکول ۲ و ۳ دی‌اکسیژناز به باکتری می‌باشد. نمونه ۷ کنترل منفی بیانگر واکنش PCR انجام شده بدون الگو DNA می‌باشد.

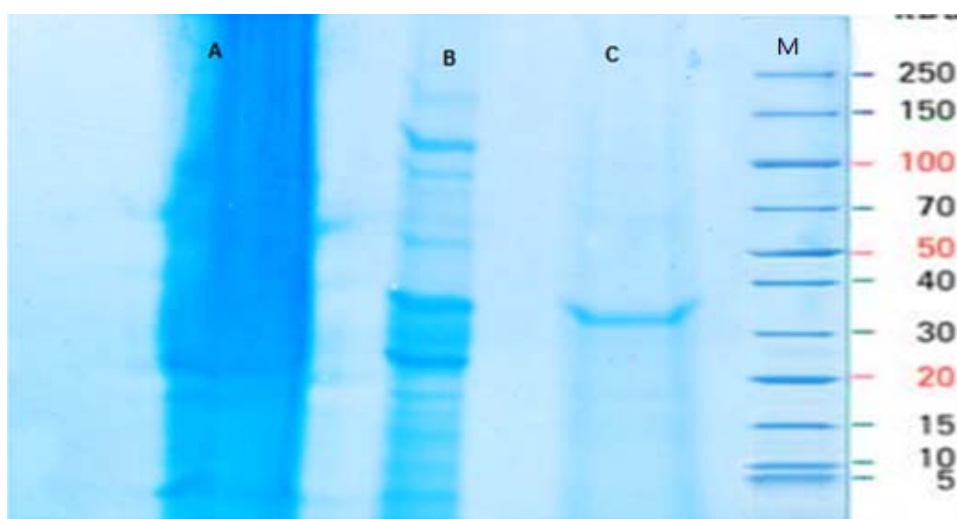
پلاسمید نوترکیب استخراج شده، جهت غربالگری با استفاده از تعیین توالی به شرکت Bioneer ارسال گردید و آنالیز نتایج تعیین توالی بیانگر . توالی نوکلئوتیدی استخراج شده از گونه Znu12 *Aneurinibacillus migulanus* با ۹۱۵ جفت باز و ۳۰۴ باقی‌مانده آمینواسیدی را کد می‌کند که در بانک ژن با شماره دسترسی MN197546.1 ثبت شد و نتایج بررسی تطبیق توالی نشانگر همسانی توالی catechol 2,3-dioxygenase استخراج شده با (WP-043071689.1) با [Aneurinibacillus migulanus] با ۹۹ درصد همسانی بود.

بررسی بیان و تخلیص پروتئین کتكول ۲ و ۳ دی‌اکسیژناز: نتایج الکتروفورز پروتئین به روش SDS-PAGE احیایی بیان‌گر بیان پروتئین کتكول ۲ و ۳ دی‌اکسیژناز در میزان بیانی همسان‌سازی شده‌ی *E.coli* BL21 می‌باشد (شکل ۶). نتایج الکتروفورز SDS-PAGE تایید کننده این مسئله می‌باشد که آنزیم کتكول ۲ و ۳ دی‌اکسیژناز تخلیص شده با استفاده از ستون کرماتوگرافی تمایلی نیکل آگاروز دارای درجه خلوص بالای ۹۰ درصد و وزن مولکولی حدود ۳۴ کیلو Dalton بدون در نظر گرفتن برچسب هیستیدینی می‌باشد.

نتایج غربالگری با استفاده از هضم آنزیمی تاییدی بر عمل ترانسفرم و همسان‌سازی بود. هضم آنزیمی وکتور pET28a نوترکیب در یک نمونه (وکتور حاصل از کلونی شماره ۱) جهت تایید واکنش اتصال قطعه موردنظر با حامل با استفاده از آنزیم برشی BamHI انجام گرفت به طوری‌که قطعه برش‌یافته نسبت به هضم وکتور pET28a غیر نوترکیب سنگین‌تر و دارای وزن بیشتری می‌باشد (شکل ۵).



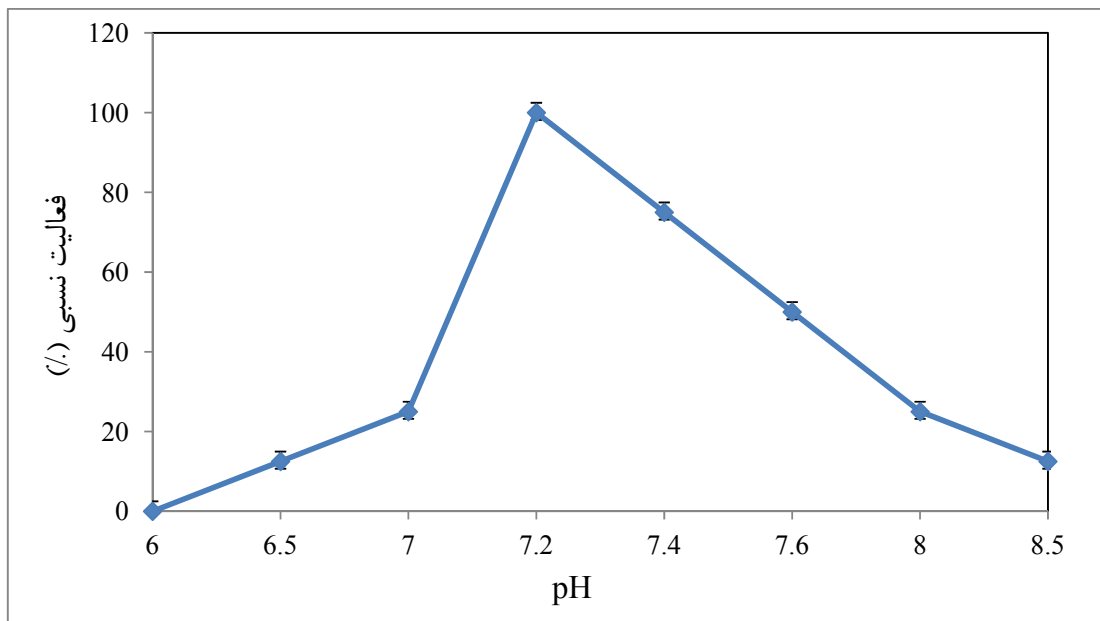
شکل ۵- غربالگری بر اساس هضم آنزیمی. A-پلاسمید غیر نوترکیب M-مارکر وزن مولکولی ۱۰۰۰۰-۱۰۰ بپ. B-پلاسمید نوترکیب حامل ژن همسان‌سازی شده (مشخص شده با فلش).



شکل ۶- تصویر ژل SDS PAGE آنزیم کتكول ۲ و ۳ دی‌اکسیژناز: A- نتایج الکتروفورز رسوب نمونه بعد از شکست سلولی B- نتایج الکتروفورز محلول رویی سلول‌های القاشده بعد از شکست سلولی C- نتایج الکتروفورز بعد از فرآیند تخلیص با کرماتوگرافی تمایلی نیکل-آگاروز M- مارکر پروتئین با کد PM2600.

شده بهینه pH برای آنزیم کتکول ۲ و ۳ دی‌اکسیژناز در سویه‌های مختلف باکتری ۷-۸/۵ گزارش شده بود (۱۶ و ۱۷) که با نتایج حاصل از تحقیق ما تطابق داشت. با توجه به این مسئله که جایگاه فعال آنزیم کتکول ۲ و ۳ دی‌اکسیژناز دارای دو باقی‌مانده اسید‌آمینه هیستیدین و یک باقیمانده گلوتامات می‌باشد. به دلیل  $pK_a$  آمینواسید هیستیدین، پروتئین را دارای قدرت بافری موثری در pH‌نزدیک خشی می‌کند.

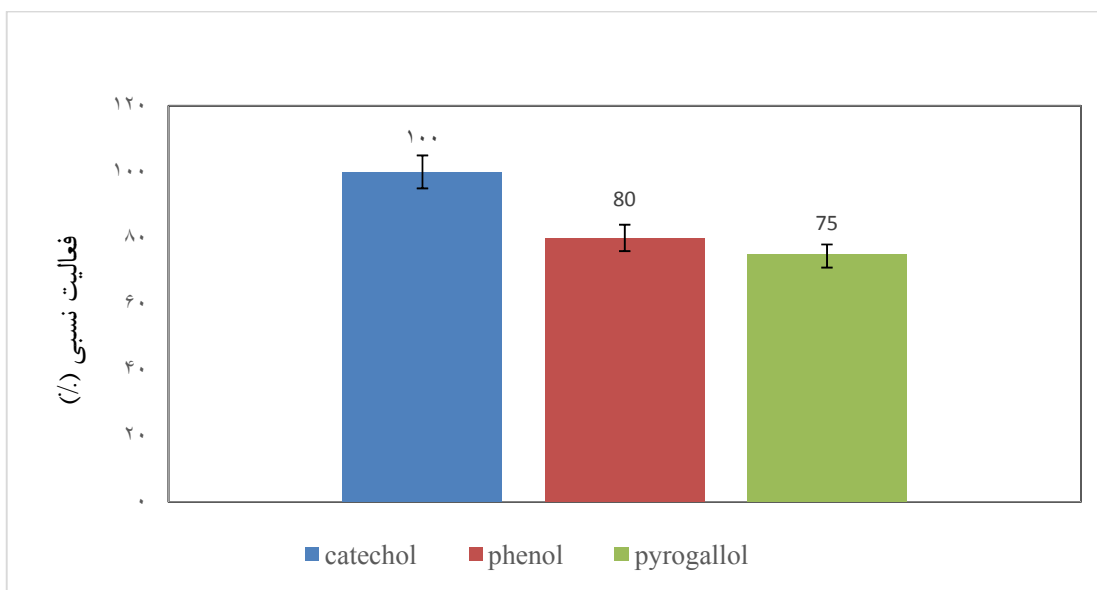
**۳-۴-۳- تاثیر pH بر فعالیت آنزیم کتکول ۲ و ۳ دی‌اکسیژناز:** در این آزمایش آنزیم کتکول ۲ و ۳ دی‌اکسیژناز با بافر مخلوط در pH های ۶، ۶/۵، ۷/۲، ۷، ۷/۶، ۸ و ۸/۵ با سوبستراتی کتکول با سه تکرار در سه روز متفاوت سنجیده شد. نتایج حاصل از این پژوهش نشان داد که آنزیم در  $pH=7/2$  حداکثر فعالیت را دارد. همان‌طور که در نمودار ۱ دیده می‌شود. آنزیم در  $pH=7/2$  دارای بیشترین (۱۰۰ درصد) فعالیت می‌باشد. اما در  $pH=7/4$  دارای ۷۰ درصد فعالیت بود. در برخی بررسی‌های انجام



نمودار ۱) بررسی فعالیت آنزیم کتکول ۲ و ۳ دی‌اکسیژناز در pH های مختلف با سه تکرار در سه روز متفاوت.

سوبسترات‌های دیگر نسبت به کتکول فعالیت کمتری از خود نشان داد که با مطالعات دیگر انجام شده تطابق داشت، به نظر می‌رسد با توجه به جایگاه فعال آنزیم کتکول ۲ و ۳ دی‌اکسیژناز و همچین ساختار کتکول، که دارای دو گروه هیدروکسیل می‌باشد. کتکول برهمکنش مناسب‌تری نسبت به سایر سوبسترات‌ها با جایگاه فعال دارد.

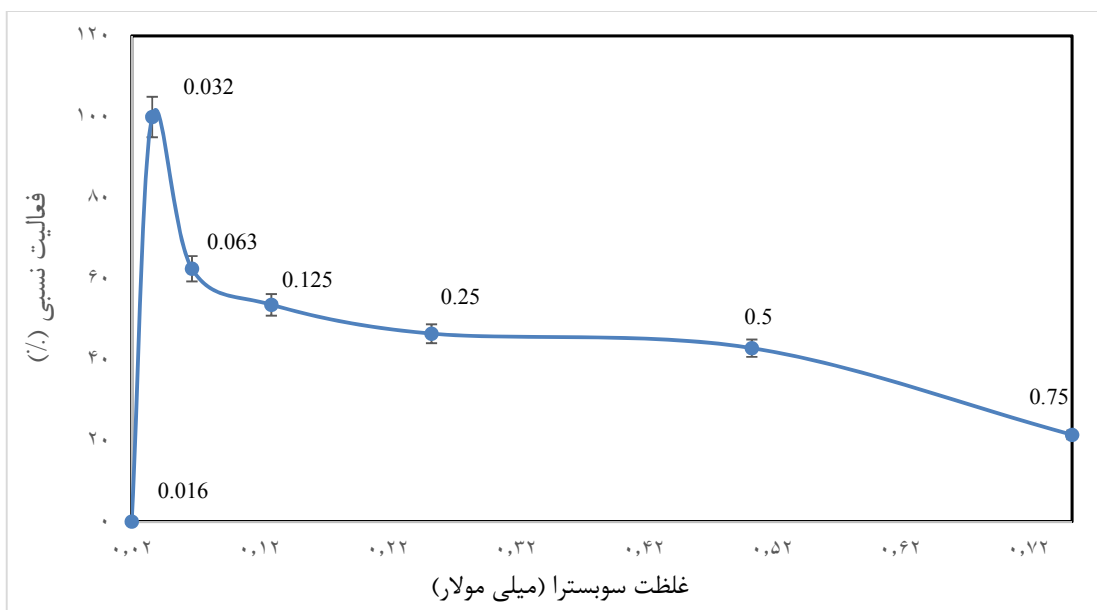
**ترجیح سوبستراتی آنزیم کتکول ۲ و ۳ دی‌اکسیژناز:** در این آزمایش میزان فعالیت آنزیم بر روی سه سوبسترات مختلف در بافر تریس ۵۰ میلی مولار  $pH=7/2$  با سه تکرار در سه روز متفاوت مورد بررسی قرار گرفت و همان‌طور که نمودار ۲ نشان می‌دهد کتکول به عنوان سوبستراتی اصلی آنزیم کتکول ۲ و ۳ دی‌اکسیژناز می‌باشد که بیشترین فعالیت را روی آن داشت. آنزیم روی



نمودار ۲- بررسی ترجیح سوبسٹرایی آنزیم کتکول ۲ و ۳ دی اکسیژنаз بر روی سوبسٹراهای کتکول، فنول و پیروگالول. کلیه آزمایش‌ها با سه تکرار و در سه روز متفاوت انجام شده است.

بررسی فعالیت آنزیم کتکول ۲ و ۳ دی اکسیژناز در این پژوهش فعالیت آنزیم کتکول ۲ و ۳ دی اکسیژناز بر غلظت‌های مختلف سوبسٹرا: در این پژوهش فعالیت آنزیم کتکول نشان داد (نمودار ۳).

مولار) کتکول سنجیده شد که آنزیم کتکول ۲ و ۳ دی اکسیژناز بیشترین فعالیت را در غلظت ۰/۰۳۲ میلی- مولار کتکول نشان داد (نمودار ۳).



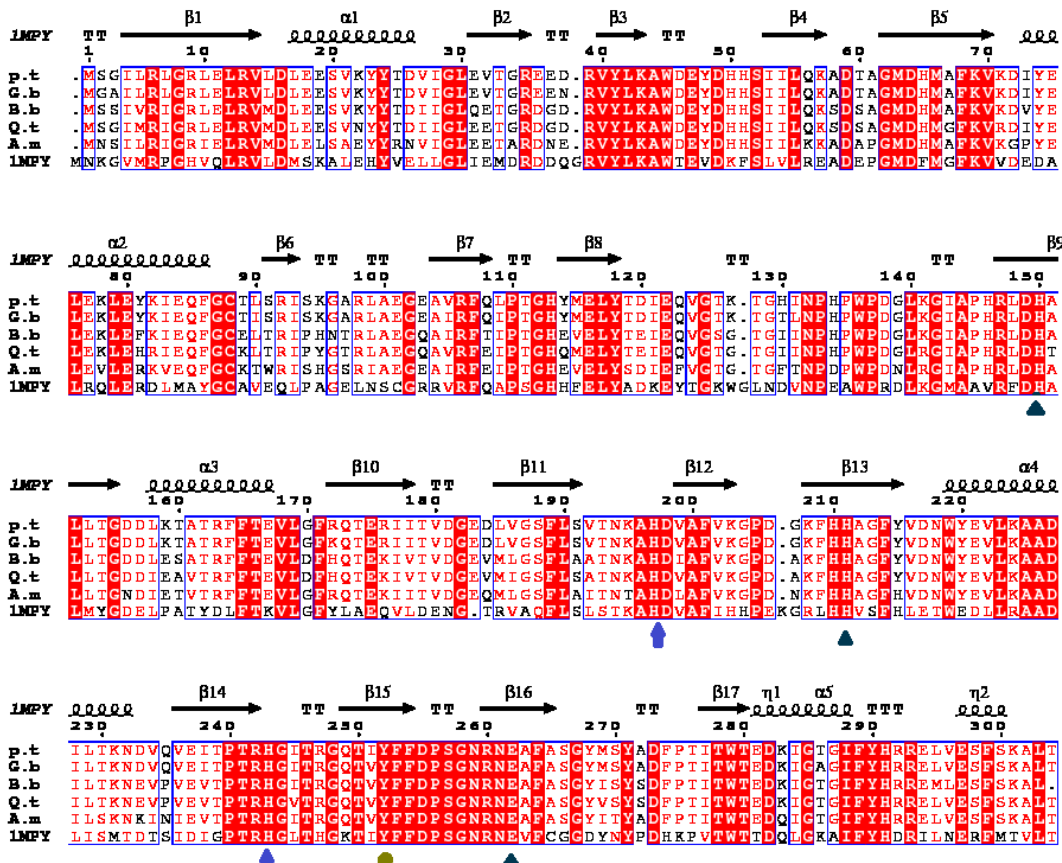
نمودار ۳- بررسی فعالیت آنزیم کتکول ۲ و ۳ دی اکسیژناز در غلظت‌های مختلف سوبسٹرای کتکول.

مطالعات بیوانفورماتیک: مطالعات بیوانفورماتیک با اهداف شناسایی، مقایسه توالی و ساختار آنزیم مورد نظر با آنزیم های مشابه در جهت درک بهتر مکانیسم عمل آنزیم الگو با استفاده از آنزیم هایی است که اطلاعات ساختاری و

بررسی حفاظت شده بودند. همچنین باقی مانده (His199) در جایگاه کاتالیتیک نیز قرار دارد به صورت حفاظت شده می‌باشد (۲). نتایج تطبیق توالی با سرور ESPrift3 نیز تایید کننده باقیماندهای به شدت حفظ شده در آنریم کنکول و ۳ دی اکسیژنаз مورد مطالعه می‌باشد.

عملکردی بیشتر در مورد آنها وجود دارد. و این مطالعات بستر ساز مطالعات آینده با اهداف مهندسی پروتئین در راستای طراحی آنژیم هایی با اختصاصیت سویستاری، پایداری حرارتی، افزایش فعالیت و تغییر pH مطلوب می باشد.

بررسی‌ها بر روی پروتئین الگو نشان داد که در جایگاه فعال اتم آهن، به ترتیب به باقی مانده‌های



شکل ۷- پروتئین کتکول ۲،۳ دی اکسیژناز در باکتری Aneurinibacillus migulanus (A.M) و ClastelW ESPrf3 بر اساس ساختار دوم ، *Pesedomonas putdi* mt2 (1MPY) تطبیق داده شد و ساختار دوم توسط  $\alpha$ -Helix ( $\alpha$ ) ،  $\beta$ -Strand ( $\beta$ ) ، turn(T) و  $\alpha$ -Helix ( $\alpha$ ) متصل به هیستیدین ۱۵۳ و ۲۱۴ (▲) و آمن متصل با رزیدوهای هیستیدین ۱۹۹ و ۲۶۵ (▲) نشان داده شده است که پروتئین کتکول ۲ و ۳ دی اکسیژناز در همه باکتریهای *Aneurinibacillu*s و *QUASI Bacillus thermotolerans* (Q.T) *parageobacillus* *Pesedomounas putdia* mt2 (1MPY) *migulanus* (A.M) حفاظت شده می باشد.

(CTD2.3)، دلیل بر صحبت مدل ساخته شده برای پروتئین مورد نظر می‌باشد (جدول ۱).

با توجه به اطلاعات بدست آمده از سرور PoratParam و مقایسه انجام شده بین نمونه پروتئین کتکول ۲و۳دی‌اکسیژنаз (1MPY) و کتکول ۲و۳دی‌اکسیژناز

جدول ۱- نتایج بدست آمده از مقایسه پارامترهای مختلف در سرورهای ModEval، SAVES، Protparam و نرم افزار Spdbviewer

	ERRAT	z-DOPE	RMSD	VERYFY3D	pI	Instability
1MPY	۸۶,۲۸۸	-۱,۷۹۴	-	۹۹,۲	۵,۴۱	۲۶,۲۸
CTD2.3	۸۳,۱۰۸	-۰,۹۶۲	۰,۴۷	۸۹,۸۰	۵,۴۷	۲۱,۰۶

این مساله می‌باشد که این روش‌ها برای حفاظت و تجزیه ترکیبات مصر محیطی کافی نبوده است (۲۱). آنزیم کتکول ۲و۳دی‌اکسیژناز یکی از آنزیم‌های مهم تجزیه کننده ترکیبات آروماتیک است و در زیست پالایی نقش بسزایی دارد (۳).

جدول ۲- مقایسه میان‌کنش‌های داخلی پروتئین کتکول ۲و۳دی‌اکسیژناز باکتری Aneurinibacillus Znu12 (CTD2.3) و پروتئین Pseudomonas putida mt2 (MPY1) با استفاده از PICserver

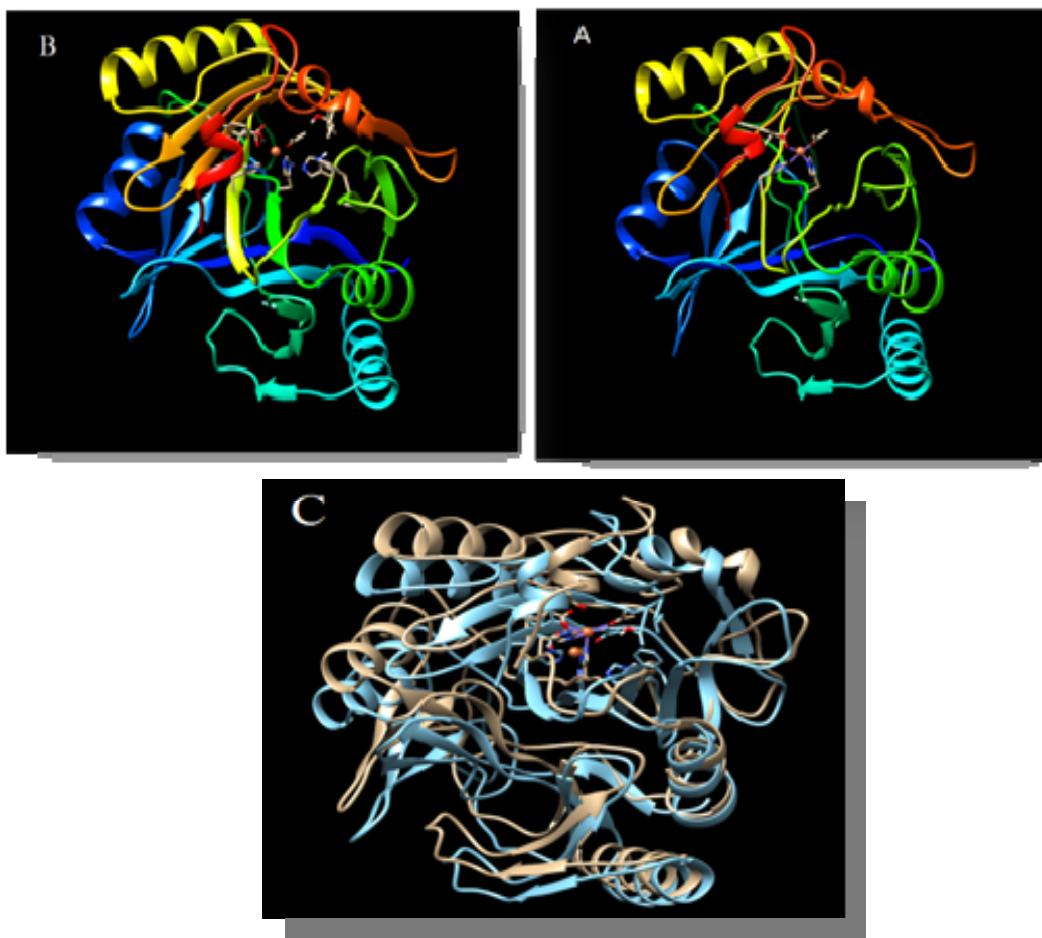
انواع میان‌کنش‌ها	1MPY	CTD2.3
Intraprotein Hydrophobic Interactions	۲۶۲	۲۲۴
Intraprotein Main Chain-Main Chain Hydrogen Bonds	۳۰۶	۲۱۲
Intraprotein Main Chain-Side Chain Hydrogen Bonds	۹۵	۹۹
Intraprotein Side Chain-Side Chain Hydrogen Bonds	۱۳۸	۹۳
Intraprotein Ionic Interactions	۴۹	۳۸
Intraprotein Aromatic-Aromatic Interactions	۱۵	۱۴
Intraprotein Aromatic-Sulphur Interaction	۲	۴
Intraprotein Cation-Pi Interactions	۸	۵

با توجه به جدول ۲ می‌توان نتیجه‌گیری کرد که مقایسه وضعیت تعداد میانکنش‌های آنزیم‌های مورد مطالعه (CTD2.3)، با آنزیم MPY1 نشانگر تفاوت تعداد میان‌کنش‌های داخلی ساختار دو آنزیم می‌باشد و به نظر می‌رسد این تغییرات در تعداد این میان‌کنش‌ها، می‌تواند نقش موثری در مکانیسم واکنش آنزیمی و تشکیل حدودسطها داشته باشد از اینرو با مطالعه و بررسی جزئی تر این میان‌کنش‌ها و باقیمانده‌های ایجاد کننده این میانکنش‌ها، می‌توان با اعمال جهش‌ها، تغییراتی در گستره فعالیت آنزیم در pH های مختلف، دماهای مختلف و پایداری آنزیم با هدف تجاری سازی آنزیم‌ها و کاربرد آن‌ها در صنعت زیست پالایی ایجاد کرد.

ساختار آنزیم کتکول ۲و۳دی‌اکسیژناز توسط نرم‌افزار کایمرا مورد بررسی قرار گرفت و جایگاه‌های اتصال آهن و رزیدوهای درگیر در این اتصال شناسایی شد. شکل ۸ میزان شباهت این دو آنزیم و اهمیت مطالعه رزیدوهایی که درگیر در میان‌کنش‌های بین مولکولی هستند را نشان می‌دهد.

## بحث و نتیجه گیری

امروزه استفاده از مسیرهای متابولیک میکروبی برای پاکسازی آلودگی‌های زیست محیطی مورد توجه قرار گرفته است. با وجود تنوع متابولیسمی میکرووارگانیسم‌ها، ما هنوز شاهد آلودگی‌های زیستی هستیم که تایید کننده



شکل ۸- بررسی تفاوت ساختار سه بعدی پروتئین کتکول ۲،۳ دی اکسیژنаз (MPY) (A) و کتکول ۲،۳ دی اکسیژناز (CTD2.3) (B) و مقایسه تطبیق همسانی ساختاری ۱ MPY و CTD2.3 (C). با استفاده از نرم افزار Chimera می باشد. در این شکل مدل ساختاری به رنگ سفید مربوط به آنزیم الگو (MPY) و رنگ آبی مربوط به مدل آنزیم CTD2.3 می باشد. در این مدل جایگاه فعال آنزیم در مرکز ساختار مشخص می باشد.

شده‌اند و از طرفی دیگر اهمیت زیست پالایی و حذف ترکیبات آروماتیک سمی، نیاز به پژوهش‌های بیشتر در این زمینه را آشکار می‌سازد. شناسایی و معرفی آنزیم‌های جدید، بررسی میزان فعالیت، مطالعه ساختار و میان‌کنش‌های بین مولکولی و درون مولکولی آن‌ها، استفاده از تکنیک‌های بیوتکنولوژی جهت معرفی آنزیم با فعالیت بالا در گستره وسیعی از فعالیت در pH و دماهای مختلف، قدم بزرگی در حل مساله زیست پالایی می‌باشد.

بررسی مطالعات انجام گرفته قبلی از قبیل Fujita و همکاران در ۱۹۹۱ که آنزیم کتکول ۲ و ۳ دی اکسیژناز را به صورت نوترکیب در باکتری اشرشیاکلی تولید کردند و میزان تجزیه کتکول را سنجیدند (۶) و در سال ۱۹۶۱ Kojima و همکاران آنزیم کتکول ۲ و ۳ دی اکسیژناز را در باکتری ترموفیل *Bacillus thermoleovorans* strain A2 شناسایی و در باکتری اشرشیاکلی همسانه‌سازی و بیان کردند (۱۳) که این مطالعات می‌توانند نشانگر اهمیت آنزیم کتکول ۲ و ۳ دی اکسیژناز باشد. با توجه به اینکه آنزیم‌های موجود در طبیعت با شرایط زیستی فعلی خودشان بهینه

سرور ESPript3 نیز بیانگر این جایگاه‌های حفظ شده در آنزیم مورد مطالعه می‌باشد. همچنین مطالعه Junca داد که برخی اسیدهای آمینه نتیجه مستقیم بر فعالیت آنزیم ندارند و اکوسیستم بهترین و تکامل‌یافته‌ترین نوع را در طبیعت انتخاب کرده است. با بررسی‌های ساختاری و توالی آنزیم *Pseudomonas putida* mt-2 مشخص شد در جایگاه ۲۰۱ باقیمانده والین و در جایگاه ۲۵۴ باقیمانده لوسین قرار دارد که در مورد آنزیم مورد مطالعه ما نیز در این جایگاه‌ها به ترتیب لوسین و والین قرار گرفته است و با توجه به اینکه ساختارهای حد واسط تشکیل شده بین سوبسترا-آنزیم و میان‌کنش‌های مولکولی که صورت می‌گیرد کاهش و افزایش یک گروه متیل در میزان فعالیت آنزیم و احتمالاً اختصاصیت سوبستراپی تغییر ایجاد کند. نتایج بدست آمده در زمینه اختصاصیت سوبستراپی آنزیم در میان سوبستراهای مختلف کتکول، پیروگالول و فنول نشان داد که کتکول سوبستراپی مطلوب‌تری برای آنزیم می‌باشد که احتمالاً به دلایل ساختار کتکول و میان‌کنش‌های تشکیل شده بین سوبسترا-آنزیم باعث اتصال بهتر آن در جایگاه فعال آنزیم می‌شود. فعالیت ۸۰ درصدی آنزیم در حضور سوبستراپی فنول به علت کمتر بودن یک گروه هیدروکسیل نسبت به کتکول قابل توجیه می‌باشد. مطالعات انجام گرفته بر روی آنزیم 1IMPY نیز بیانگر این می‌باشد که جایگاه فعال آنزیم شامل آمینواسیدهای هیدروفوبیک: Phe302, Ile204, Leu298, Ala189, Val188, Val180 می‌باشد. که باقیمانده ۳۰۳ به Met303 و Phe302 به باقیمانده ۳۰۴ واسطه زنجیره جانبی غیر قطبی‌شان در ناحیه باز صفحه بتا واقع در دومین C-ترمینال باعث پوشش‌دهی و باریک شدن آن ناحیه شده و در نهایت باعث اختصاصی شدن آنزیم به سوبستراپی کتکول می‌شود (۲). در آنزیم مورد مطالعه ما نیز در جایگاه‌های ۳۰۳ و ۱۸۹ به ترتیب آمینو اسید سرین و گلایسین قرار گرفته است که احتمالاً این جایگزینی در مورد جایگاه ۳۰۳ می‌تواند با اضافه شدن یک گروه هیدروکسیلی (سرین) و کوتاه شدن زنجیره جانبی، در

در سال ۲۰۱۸ ژی و همکارانش آنزیم کتکول ۲ و ۳ دی اکسیژناز را از باکتری *Thauera s* K1 تخلیص و خواص زیستی و شیمیایی آن را شناسایی و نشان دادند که آنزیم هموترامر و دارای وزن مولکولی ۱۴۰ کیلو Dalton می‌باشد و هر زیر واحد شامل آهن می‌باشد و دارای pH بهینه برابر ۸ و دمای مطلوب  $^{\circ}\text{C}$  ۴۵ می‌باشد. مقایسه توالی آمینواسیدی این آنزیم‌ها بیانگر همسانی در باقیمانده‌های آمینواسیدی جایگاه فعال می‌باشد و بررسی تفاوت‌ها و همسانی‌های این خانواده آنزیمی می‌تواند مسیری در جهت الگوگیری با هدف طراحی آنزیم‌هایی با ویژگی‌های عملکردی مناسب در صنعت باشد (۲۳).

آنزیم کتکول ۲ و ۳ دی اکسیژناز آنزیمی هموترامر می‌باشد که از دو دایمر تشکیل شده است. دایمراه از جفت شدن پیوندهای هیدروژنی بین مولکولی تشکیل می‌شود که ۳ باقیمانده Val133 Pro135 تا ۱۴۹ در تشکیل این پیوند هیدروژنی نقش دارند. هر زیر واحد ۲ دومین (N-ترمینال و C-ترمینال) دارد. N-ترمینال شامل آمینواسیدهای ۱۳۰ تا ۱۳۹ بوده که در انتهای پایانی آن از گلایسین ۱۳۰ تا تریپتوфан ۱۳۹ لوب بلندی تشکیل می‌شود که باعث نزدیکی زیر واحدها در تترامر می‌شود. جایگاه فعال آنزیم در حفره ای بین دومین C-ترمینال قرار دارد (۲۲).

نتایج تعیین توالی و بیان ژن آنزیم مورد مطالعه، بیانگر یک توالی ۹۱۵ جفت بازی (آنزیمی با ۳۰۴ باقیمانده آمینواسیدی) و تک باند پروتئینی با وزن مولکولی ۳۴ کیلو Dalton بود. آنزیم کتکول ۲ و ۳ دی اکسیژناز ۳۴ کیلو Daltonی مورد مطالعه در دمای  $^{\circ}\text{C}$  ۲۵ pH بهینه برابر با ۷/۲ و غلاظت بهینه سوبستراپی ۰/۰۳۲ می‌بیشترین فعالیت را از خود نشان داده است. در مطالعه‌ای که توسط Junca و همکاران انجام گرفت آنزیم کتکول ۲ و ۳ دی اکسیژناز را در باقیمانده‌های به شدت حفظ شده His199 و Tyr 255 در جایگاه‌های فعال آنزیم می‌باشد (۱۲). نتایج تطبیق توالی با

این مقاله از محل پایان نامه خانم ثریا محمدزاده دانشجوی کارشناسی ارشد بیوشیمی دانشگاه زنجان و با حمایت معاونت پژوهش و فناوری دانشگاه زنجان انجام شده است.

اختصاصیت سوبسترایی و سرعت واکنش تغییراتی ایجاد کند. این بررسی‌ها ضرورت اهمیت و مطالعه بر روی آنزیم کتکول ۲و۳ دی اکسیژناز را بیشتر می‌کند.

### تقدیر و تشکر

### منابع

آلینده‌های نفتی. زیست‌شناسی کاربردی دانشگاه الزهرا، دوره ۳۳، شماره ۳

2. Akiko, K., Shin-ichi, k., Ikuhide, F., Koje, I., Tetso, I., Kihachiro, H., Mitsuhiro, N. & Kunio, M. (1999). An archetypical extradiol-cleaving catecholic dioxygenase: the crystal structure of catechol 2,3-dioxygenase (metapyrocatechase) from *Pseudomonas putida* mt-2. *Structure*, 25-34.
3. Brodirek, J. (1999). Catechol dioxygenases. *Essays Biochem*, 34, 173-189.
4. Celesia, D., Salzmann, I., Porto, E.V., Walter, F., Weber, C., Dufresne, R. & Crelier, S. (2017). Production of a Recombinant Catechol 2,3-Dioxygenase for the Degradation of Micropollutants. *Chimia International Journal for Chemistry*, 734-738.
5. Fernandez-Lafuente, R., Guisan, J. M., Ali, S., & Cowan, D. (2000). Immobilization of functionally unstable catechol-2, 3-dioxygenase greatly improves operational stability. *Enzyme and microbial technology*, 26(8), 568-573.
6. Fujita, M., Kamiya, T., Ike, M., Kawagoshi, Y. & Shinohara, N. (1991). Catechol 2, 3-oxygenase production by genetically engineered *Escherichia coli* and its application to catechol determination. *World Journal of Microbiology and Biotechnology*, 407-414.
7. Guo, G., Fang, T., Wang, C., Huang, Y., Tian, F., Cui, Q. & Wang, H. (2015). Isolation and characterization of two novel halotolerant Catechol 2 , 3-dioxygenases from a halophilic bacterial consortium. *Scientific reports*, 5(1), 1-13.
8. Guzik, U., Hupert-Kocurek, K. & Wojcieszynska, D. (2014). Immobilization as a strategy for improving enzyme properties-Application to oxidoreductases. *Molecules*, 8995-9018.
9. Huang, S.-L., Hsu, Y.-C., Wu, C.-M., Lynn, J. W. & Li, W.-H. (2010). Thermal effects on the activity and structural conformation of catechol 2,3-dioxygenase from *Pseudomonas putida* SH1. *The Journal of Physical Chemistry B*, 114(2), 987-992.
10. Hupert-Kocurek, K., Saczyńska, A. & Piotrowska-Seget, Z. (2013). Cadmium increases catechol 2,3-dioxygenase activity in *Variovorax* sp. 12S, a metal-tolerant and phenol-degrading strain. *Antonie van Leeuwenhoek*, 104(5), 845-853.
11. Hupert-Kocurek, K., Wojcieszynska, D. & Guzik, U. (2014). Activity of a carboxyl-terminal truncated form of catechol 2,3-dioxygenase from *Planococcus* sp. S5. *The Scientific World Journal*, 1-9.
12. Junca, H., Plumeier, I., Hecht, H. J., & Pieper, D. H. (2004). Difference in kinetic behavior of catechol 2,3-dioxygenase variants from a polluted environment. *Microbiology*, 150(12), 4181-4187.
13. Kojima, Y., Itada, N. & Hayaishi, O. (1961). Metapyrocatechase: a New Catechol-cleaving Enzyme. *Journal of biolocal chemistry*, 236, 2223-2228.
14. Kumar, A., Kumar, S. and Kumar, S. (2005). Biodegradation kinetics of phenol and catechol using *Pseudomonas putida* MTCC 1194. *Biochemical Engineering Journal*, 151-159.
15. Li, S., Qin, K., Li, H., Guo, J., Li, D., Liu, F. & Zhao, H. (2018). Cloning and characterisation of four catA genes located on the chromosome and large plasmid of *Pseudomonas putida* ND6. *Electronic Journal of Biotechnology*, 34, 83-90.
16. Liu, Z., Zhang, Y., Bian, C., Xia, T., Gao, Y., Zhang, X. & Wang, X. (2019). Biosensors and Bioelectronics Highly sensitive microbial biosensor based on recombinant *Escherichia coli* overexpressing catechol 2, 3-dioxygenase for

- reliable detection of catechol. Biosensors and Bioelectronic, 126, 51–58.
17. Lucey, K. S. & Leadbetter, J. R. (2014). Catechol 2,3-dioxygenase and other meta-cleavage catabolic pathway genes in the “anaerobic” termite gut spirochete *Treponema primitia*. Molecular Ecology, 23(6), 1531–1543.
  18. Mahiuddin, M., Fakhruddin, A. N. M. & Al-Mahin, A. (2012). Degradation of Phenol via Meta Cleavage Pathway by *Pseudomonas fluorescens* PU1. International Scholarly Research Notices, 1-6.
  19. Monographs, I., Chem, N. & Reg, S. (1987). Studies of Cancer in Experimental Animals. 1319–1323.
  20. Nozaki, M., Ono, K., Nakazawa, T., Kotani, S. & Hayaishi, O. (1968). Metapyrocatechase-The
  - Role of Iron and Sulphydryl Groups. The Journal of Biological Chemistry, 234(10), 2682–2690.
  21. Pieper, D. H., & Reineke, W. (2000). Engineering bacteria for bioremediation. Current opinion in biotechnology, 11(3), 262-270.
  22. Wojcieszynska, D., Hupert-Kocurek, K., Jankowska, A. & Guzik, U. (2012). Properties of catechol 2,3-dioxygenase from crude extract of *Stenotrophomonas maltophilia* strain KB2 immobilized in calcium alginate hydrogels. Biochemical Engineering Journal, 66, 1–7.
  23. Xi, L., Liu, D., Wang, L., Qiao, N., & Liu, J. (2018). Catechol 2,3-dioxygenase from a new phenolic compound degrader *Thauera* sp. K11: purification and biochemical characterization. Journal of Basic Microbiology, 58(3), 255–262.

## **Molecular and bioinformatics studies and determination of functional properties of Catechol 2,3-dioxygenase from *Aneurinibacillus migulanus* Znu12**

**Mohammadzadeh S., Ahmadpour N., Mirzaee Z. and Jafarian V.**

**Dept. of Biology, Faculty of Science, University of Zanjan, Zanjan, I.R. of Iran.**

### **Abstract**

Catechol 2,3-dioxygenases play a key role in the metabolism of aromatic molecules in the environment by soil bacteria. The aim of this study is to introduce the new catechol 2,3-dioxygenase and also to survey bioinformatics and biochemical characteristics in the presence of various substrates as well as to study its activity in various pH ranges for the widespread use of such enzymes in bioremediation industry. In this study, the DNA sequences of Catechol 2,3-dioxygenase were separated from *Aneurinibacillus migulanus* Znu12 and recorded with accession number MN197546.1 in NCBI, then it was cloned in plasmid pET28a. The accuracy of cloning and not changing the frame shift was confirmed by sequencing. After transferring of plasmid into *E. coli* BL21 (DE3) cells, protein expression was assessed by SDS-PAGE. Afterwards, the purification, assay and optimization of enzyme activity were evaluated. The results of PCR reaction on agarose gel indicated a sequence of 912 bp, an enzyme with 304 amino acid residues. Results of sequence alignment by ESPript3 server also confirmed highly conserved residues of His199 and Tyr 255 in the enzymes active site. Biochemical characterization of the enzyme showed that the enzyme had the highest (100%) activity at pH 7.2, while it had only 70% activity at pH 7.4. As compared with pyrogallol and phenol, catechol by optimal concentration of 0.032 was the most preferred substrate for the enzyme. Bioinformatics results confirmed also such substrate preference based on the type and position of amino acid residues in the enzyme active site.

**Key words:** Bioinformatic, Bioremediation, Catechol 2,3-dioxygenase, Cloning, Optimal pH.